

REGIONE
SICILIANA



COMUNE DI
RIBERA



COMUNE DI
CALAMONACI



Il Committente:

NP Sicilia 5

NP SICILIA 5 S.R.L.

Galleria Passarella, 2
20122 MILANO

C.F. e P. IVA 12930310961
REA MI-2693053

PEC: npsicilia5@legalmail.it
Legale Rappresentante STEFANO PIERONI

Il Progettista:



dott. ENRICO FORCUCCI

Titolo del progetto:

PARCO EOLICO "BELMONTE"
POTENZA NOMINALE 28,8 MW

Elaborato:

PROGETTO DEFINITIVO

Codice Elaborato:

NPS5_RIB_D06_REL

TITOLO ELABORATO:

Stima di producibilità_var1

FOGLIO:

SCALA:

FORMATO:

A4

Rev:	Data	Descrizione Revisione	Redatto	Controllato	Approvato
0	25/07/2023		E.F.		
1	23/07/2024		E.F.		

	PARCO EOLICO “BELMONTE”	 		
		STIMA DI PRODUCIBILITA'	22/07/2024	REV.0

Sommario

1. INTRODUZIONE	2
1.1. Premessa.....	2
1.2. Inquadramento geografico del sito	2
1.3. Metodologia di analisi	5
2. CRITERI ADOTTATI PER LA VALUTAZIONE	9
2.1. Modello digitale orografico	9
2.2. Mappa di rugosità.....	9
2.3. Ostacoli	9
2.4. Densità dell'aria	10
2.5. Risorsa eolica	10
2.6. Descrizione dell'aereogeneratore.....	14
3. CALCOLO E VERIFICA DELLA PRODUZIONE ATTESA	17
3.1. Stima della produzione energetica	17
3.2. Verifica dell'idoneità del sito	20
3.3. Conclusioni	21

	PARCO EOLICO “BELMONTE”			
		STIMA DI PRODUCIBILITA'	22/07/2024	REV.0

1. INTRODUZIONE

1.1. Premessa

Il presente documento in variante rappresenta la valutazione preliminare di ventosità e di produzione di energia elettrica del progetto dell'impianto eolico costituito da n° 4 aerogeneratori con potenza unitaria pari a 7,2 MW, per una potenza complessiva di 28,8 MW. L'energia prodotta afferrisce mediante un sistema in cavo interrato alla stazione elettrica di trasformazione, il collegamento alla Rete di trasmissione Nazionale avviene per mezzo di una nuova stazione utente a 220/36 kV della RTN da inserire in entra - esce sulla linea RTN a 220 kV "Favara - Partanna".

La presentazione dell'istanza di VIA è stata effettuata in data 04/08/2023, con l'avvio della consultazione pubblica in data 31/08/2023 e avente codice di procedura (ID_VIP7ID_MATTM) 10169.

Tali interventi hanno l'obiettivo di ridurre al minimo l'impatto ambientale potenziale generato dall'opera, soprattutto in termini di impatto paesaggistico e di interferenze/cumulo con altri impianti e progetti incidenti sul territorio, mantenendo il pieno rispetto delle normative vigenti in materia ambientale. In estrema sintesi, le modifiche apportate al progetto prevedono:

- rimozione dell'aerogeneratore WTG 2;
- modifica della viabilità di ingresso al parco;
- modifica della viabilità di ingresso alla WTG 5.

1.2. Inquadramento geografico del sito

Il sito di installazione è localizzato in Sicilia e precisamente nei Comuni di Calamonaci (AG) e Ribera (AG) con soluzione di connessione che interesserà entrambi i comuni.

Complessivamente, l'area si inserisce in ambito agricolo con prevalenza di seminativi.

	PARCO EOLICO “BELMONTE”		
			
STIMA DI PRODUCIBILITA'		22/07/2024	REV.0
			Pag. 3



Figura 1: Sito di installazione

Nel suo insieme l'area di progetto risulta essere ben esposta ai venti dominanti soprattutto per le componenti energeticamente più importanti che provengono sostanzialmente dai settori Nord-ovest ed Est.

La disposizione degli aerogeneratori all'interno dell'area individuata per il parco eolico si è basata su diversi criteri che conciliano il massimo sfruttamento dell'energia del vento con il rispetto dei vincoli paesaggistici e territoriali.



Figura 2: Layout del parco eolico

Di seguito si riportano le coordinate degli aerogeneratori nel sistema di riferimento Geo [deg,min] - WTG84:

ID Turbina	Comune	Nord	Est	Altezza s.l.m. (m)
WTG01	Calamonaci	37°31'30.68"N	13°19'25.95"E	334
WTG03	Calamonaci	37°31'2.67"N	13°18'44.30"E	376
WTG04	Ribera	37°30'55.47"N	13°18'26.05"E	363
WTG05	Ribera	37°30'44.34"N	13°18'10.12"E	364

La posizione degli aerogeneratori è stata definita analizzando la distribuzione del potenziale eolico, al fine di ottenere per ogni macchina la massima producibilità e, allo stesso tempo, minimizzare il disturbo causato alle macchine poste in scia ad altre (perdite per effetto scia).

L'area non è interessata dalla presenza di altri impianti eolici, per tale motivo non saranno

	PARCO EOLICO “BELMONTE”	 		
	STIMA DI PRODUCIBILITA'	22/07/2024	REV.0	Pag. 5

considerate turbine esistenti che possano arrecare interferenze o deficit produttivi.

1.3. Metodologia di analisi

Il calcolo della produzione di energia elettrica di un impianto eolico è cruciale per la fattibilità del progetto, nello specifico vengono usati modelli di simulazione.

La produzione di energia eolica da un aerogeneratore in un dato istante è calcolata con la seguente equazione:

$$P = \frac{1}{2} \rho AV^3 \cdot C_p$$

dove:

- ✓ P è la potenza;
- ✓ ρ è la densità dell'aria;
- ✓ V è la velocità del vento;
- ✓ A è l'area spazzata dal rotore;
- ✓ C_p è il coefficiente di potenza.

Il programma utilizzato è Wind Pro con implementazione di WAsP che è uno dei principali e più completi strumenti di analisi del vento attualmente disponibile sul mercato.

Il software è stato usato per la creazione dell'atlante europeo del vento che mira a stabilire la base meteorologica per la valutazione dei potenziali eolici. Il funzionamento del software è piuttosto semplice:

- ✓ i dati di input necessari sono:
 - ❖ modello digitale del terreno;
 - ❖ rugosità del terreno;
 - ❖ eventuali ostacoli;
 - ❖ densità dell'aria;
 - ❖ risorsa eolica dell'area considerata;
 - ❖ tipologia e caratteristiche dell'aerogeneratore.
- ✓ l'output è costituito dal cosiddetto calcolo Park ovvero la producibilità annua di un singolo aerogeneratore e dell'intero parco eolico portando in conto le eventuali interferenze dovute all'effetto scia e l'eventuale presenza di ostacoli che possono alterare la distribuzione del vento.

Il software Wind Pro utilizza come piattaforma di calcolo WAsP, arricchendolo di altre funzionalità di

verifica e di correlazione tra i dati quali il modulo MCP (measure-correlate-predict), che consente di mettere in relazione tra loro i dati di diverse stazioni di misura e sfruttare serie storiche di lungo periodo per avere una climatologia con basse incertezze. In generale il modulo mette in relazione set di dati di sensori differenti che possono appartenere anche allo stesso anemometro, con lo scopo di ricostruire dati mancanti ad una data altezza.

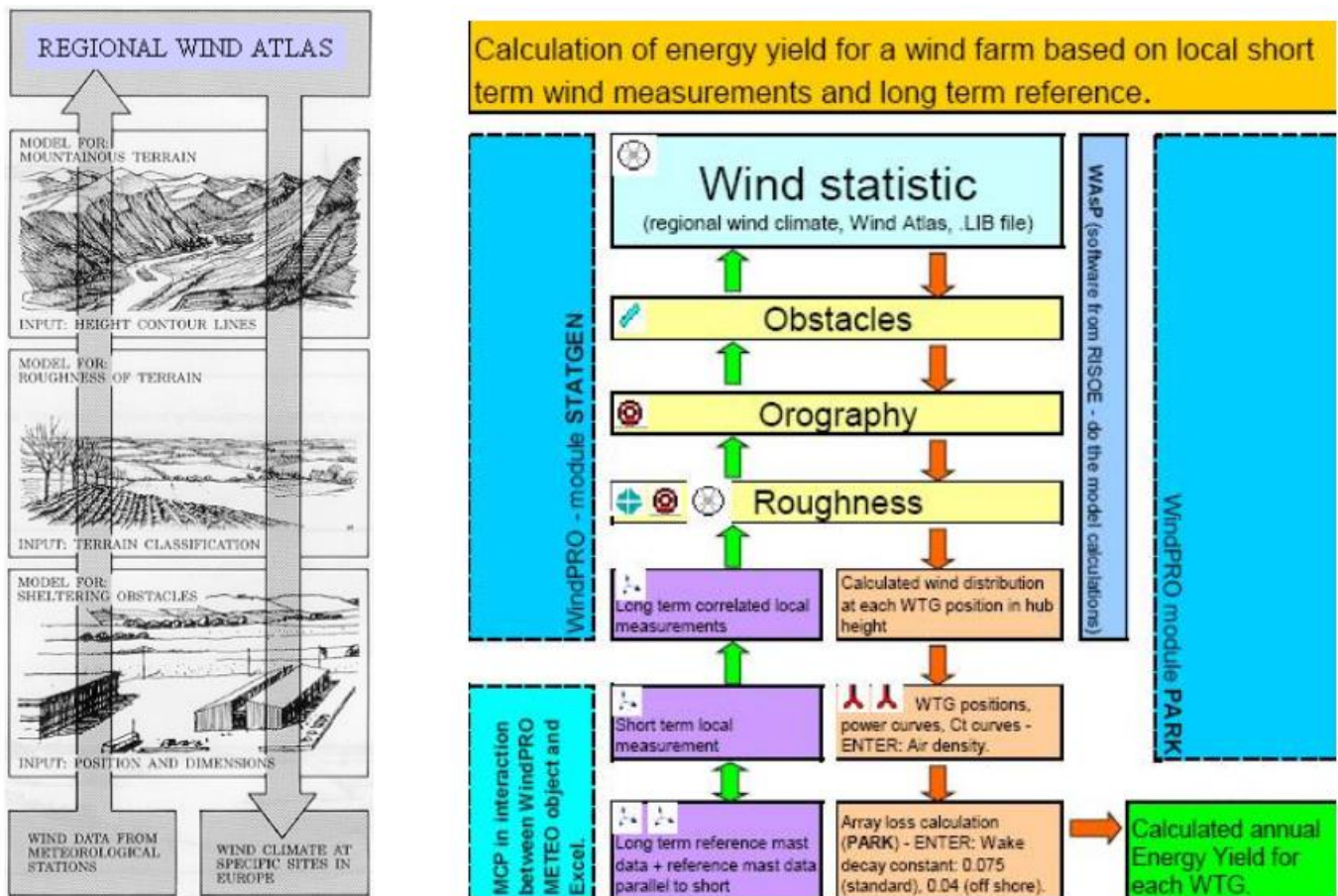


Figura 3: Diagramma di flusso del programma Wind Pro/WASP

Il modulo Park è in grado di calcolare, offrendo diversi modelli alternativi, le perdite di scia dovute all'effetto di copertura reciproca tra aereogeneratori. L'equazione fondamentale per calcolare le perdite in scia dietro il rotore è:

$$v = u \left[1 - \frac{2}{3} \left(\frac{R}{R + \alpha x} \right)^2 \right]$$

dove:

- ✓ v è la velocità del vento ad una distanza x dietro il rotore;
- ✓ u è la velocità del vento libero subito a monte del rotore;
- ✓ R è il raggio del rotore;
- ✓ α è la costante di decadimento di scia;
- ✓ $2/3$ è un valore approssimato del parametro C_t nel modello di calcolo; il valore esatto di C_t è usato in ciascun intervallo di velocità del vento.

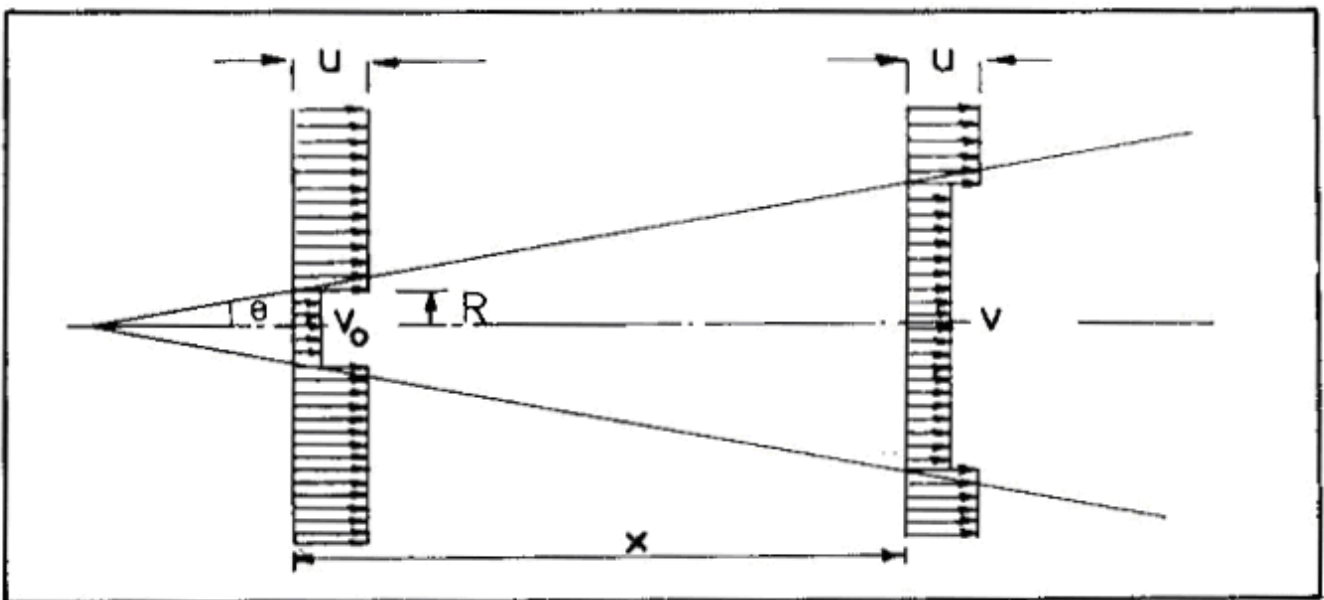


Figura 4: Modello semplificato delle perdite di scia oltre una turbina

La costante di decadimento è una misura dell'allargamento del "cono d'ombra" a valle della turbina. Essa è definita come l'allargamento in metri per metro a valle del rotore, dipende dalla turbolenza e quindi dalla classe di rugosità.

La Commissione Elettrotecnica Internazionale (IEC) stabilisce i requisiti standard di progettazione. La Norma IEC 61400-1 Ed.3 specifica le classi di progettazione con associate le relative velocità del vento estreme ed intensità di turbolenza. Modelli di turbolenza ed altre condizioni ambientali, quali la complessità topografica, sono altresì specificati come illustrato nella tabella che segue:

	PARCO EOLICO “BELMONTE”		 	
	STIMA DI PRODUCIBILITA'		22/07/2024	REV.0

Wind turbine class		I	II	III	S
V_{ave} (m/s)		10	8.5	7.5	User defined
V_{ref} (m/s)		50	42.5	37.5	
$V_{50,gust}$ (m/s)		70	59.5	52.5	
I_{ref}	A	0.16			
	B	0.14			
	C	0.12			

dove:

- ✓ V_{ref} è la velocità del vento di riferimento media su 10 minuti con un periodo di ricorrenza di 50 anni e rappresenta il parametro estremo di base utilizzato per definire le classi delle turbine eoliche (per una turbina progettata in classe S con una velocità di riferimento V_{ref} , si intende che essa è progettata per resistere climi per cui la media estrema della velocità del vento media 10min con un periodo di ricorrenza di 50 anni è inferiore o uguale a V_{ref});
- ✓ A indica la categoria con caratteristiche di turbolenza superiori;
- ✓ B indica la categoria con caratteristiche di turbolenza medie;
- ✓ C indica la categoria con caratteristiche di turbolenza inferiori;
- ✓ I_{ref} è il valore atteso dell'intensità della turbolenza a 15 m/s.

2. CRITERI ADOTTATI PER LA VALUTAZIONE

2.1. Modello digitale orografico

Il modello digitale del terreno DTM (Digital Terrain Model) è stato estrapolato dal grid disponibile in download dal satellite, georeferenziato, sovrapposto, confrontato e adeguato con le curve di livello presenti sulla cartografia ufficiale IGM 1:25000 con uno step di 10 m. Il modello digitale ottenuto copre l'intera area e trova un buon riscontro con l'andamento orografico verificato in sito.

2.2. Mappa di rugosità

La rugosità superficiale, determinata principalmente dall'altezza e tipologia di vegetazione che ricopre l'area di interesse, gioca un ruolo fondamentale per la variabilità della velocità del vento anche alle altezze del mozzo degli aerogeneratori. Informazioni di rugosità sono rese disponibili dal progetto "Corinne Land Cover 2018" che ricopre, attraverso l'ausilio di satelliti, gran parte della superficie terrestre. La mappa di rugosità, ottenuta attraverso l'ausilio del progetto citato, è stata integrata con le informazioni aggiuntive e di dettaglio ottenute ed annotate durante l'ispezione di sito e attraverso l'integrazione e sovrapposizione di carte aerofotogrammetriche.

2.3. Ostacoli

Gli ostacoli (edifici, siepi, etc.), più alti di $\frac{1}{4}$ dell'altezza del mozzo e non distanti oltre i 1000 metri da ogni singolo aerogeneratore andrebbero trattati come locali e non come elementi di rugosità, influenzano il flusso del vento e modificano di conseguenza la produzione del parco eolico.

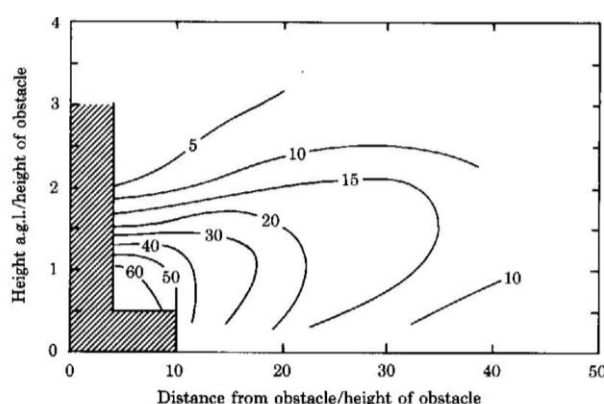


Figura 5: Riduzione percentuale della velocità del vento in presenza di ostacoli

Durante il sopralluogo non è emersa la presenza di particolari e significati ostacoli nell'area.

2.4. Densità dell'aria

La densità dell'aria in sito è stata calcolata basandosi sui dati climatologici, disponibili nel database di WindPro, relativi alla stazione più vicina all'area di progetto.

Select air density calculation method

Elevation depending air density

Temperature base values

Temperature data from climate station database Climate database SCIACCA AERO V3 2014

Manual input of temperature data

Elevation m a.s.l. Annual mean temperature °C

Pressure base values

Pressure calculated from elevation

Manual input of pressure data (Must be used with care)

Elevation m a.s.l. Pressure hPa Compare to standard values (0 m and 1013 hPa) %

Other settings

Relative humidity %

Example

Terrain elevation m a.s.l. + Hub height m a.g.l. = m a.s.l.

Temperature °C Pressure hPa Air density kg/m³ % of STANDARD

[View windPRO Documentation: Air Density](#)

Figura 6: Caratteristiche della stazione di riferimento per il calcolo della densità dell'aria

2.5. Risorsa eolica

La risorsa eolica specifica del sito è stata valutata utilizzando una griglia di dati mesoscala disponibili dal database EMD del software WindPro.

Al fine di effettuare una correzione di lungo periodo delle misure di ventosità, sono state selezionate diverse fonti di dati mesoscala, con l'obiettivo di mettere in luce eventuali inconsistenze o cambi di tendenza. Questa metodologia permette inoltre di ridurre il rischio di commettere errori di stima della velocità di lungo periodo utilizzando un unico set di dati.

In particolare, ogni set di dati ha una durata da gennaio 1993 ad agosto 2019 ed include queste informazioni con intervallo di tempo orario:

	PARCO EOLICO “BELMONTE”		 	
	STIMA DI PRODUCIBILITA'		22/07/2024	REV.0

- ✓ Direzione del vento ad un'altezza pari a 10m, 25, 50m, 75m, 100m, 150m e 200m;
- ✓ Velocità del vento ad un'altezza pari a 10m, 25, 50m, 75m, 100m, 150m e 200m;
- ✓ Temperatura ad un'altezza pari a 2m;
- ✓ Umidità relativa ad un'altezza pari a 2m.

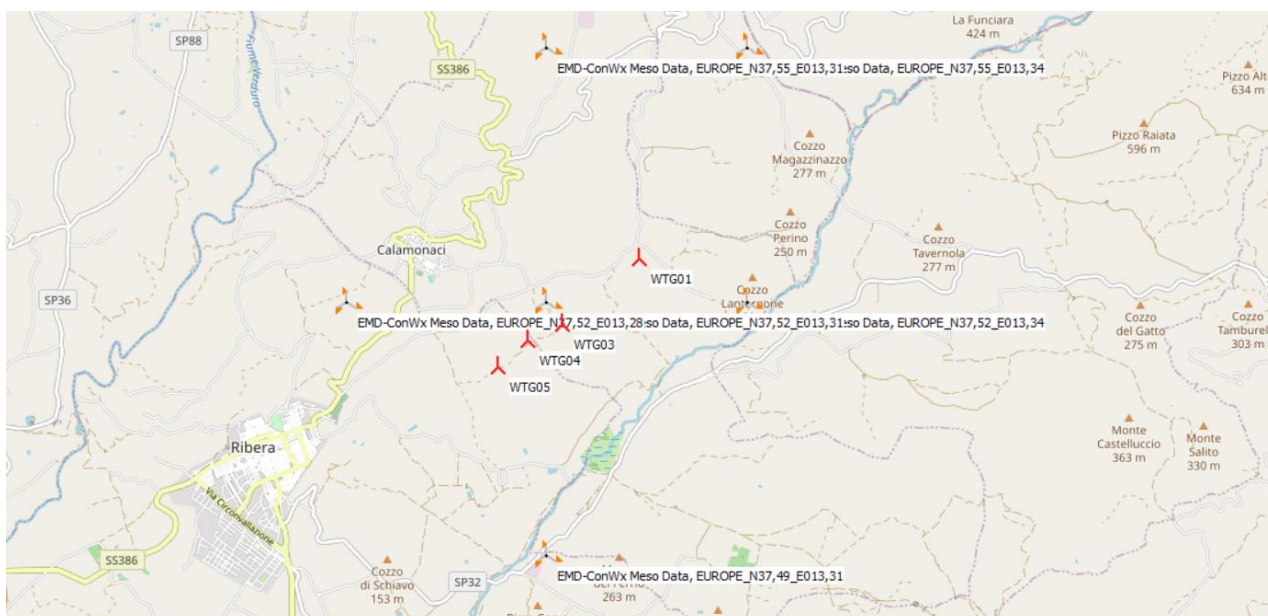


Figura 7: Posizione delle stazioni EMD-ConWx Mesodata Europe

Di seguito si riportano le coordinate delle sei stazioni mesoscala nel sistema di riferimento Geo [deg,min] - WTG84:

Stazione mesoscala	Nord	Est	Altezza s.l.m. (m)
EMD-ConWx Mesodata Europe_N37,49_E13,31	37°29,4000'	13°18,6000'	98
EMD-ConWx Mesodata Europe_N37,52_E13,28	37°31,2000'	13°16,8000'	286
EMD-ConWx Mesodata Europe_N37,52_E13,31	37°31,2000'	13°18,6000'	356
EMD-ConWx Mesodata Europe_N37,52_E13,34	37°31,2000'	13°20,4000'	150
EMD-ConWx Mesodata Europe_N37,55_E13,31	37°33,0000'	13°18,6000'	236
EMD-ConWx Mesodata Europe_N37,55_E13,34	37°33,0000'	13°20,4000'	200

I dati mesoscala EMD-ConWx Europe sono ottenuti tramite un modello numerico mesoscala ad alta risoluzione spaziale di 0,03°x 0,03°, corrispondente a circa 3 km x 3 km, con una risoluzione temporale oraria. I dati utilizzati per le condizioni al contorno sono i dati di rianalisi ERA-Interim forniti dal Centro Europeo per le Previsioni Meteorologiche di Medio Termine.

Questi dati ricoprono gran parte dell'Europa, inclusa la Turchia e l'Ucraina, ad esclusione dell'estremità a nord della Scandinavia. I dati sono disponibili per circa 20 anni e sono aggiornati mensilmente con circa 3 mesi di ritardo, a causa della disponibilità dei dati ERA-Interim.

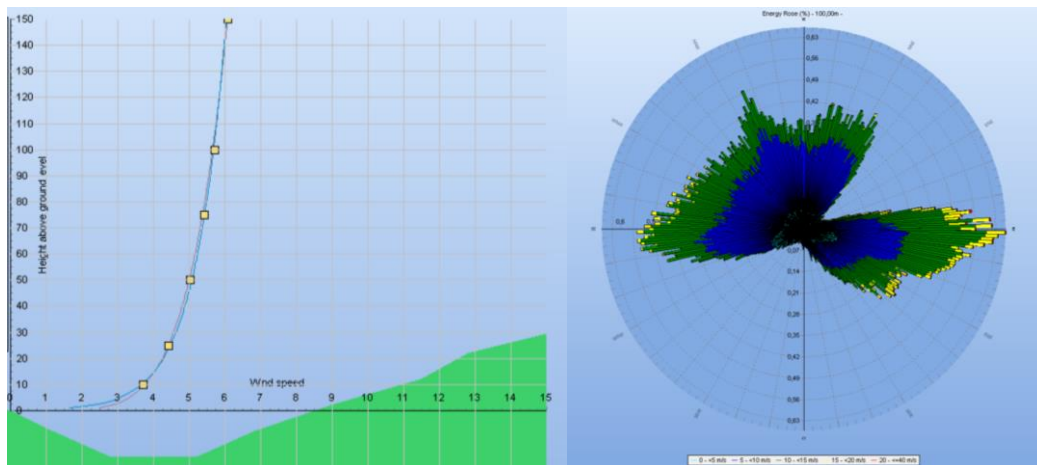


Figura 8: Caratteristiche della stazione EMD-ConWx Mesodata Europe N37,49 E13,31

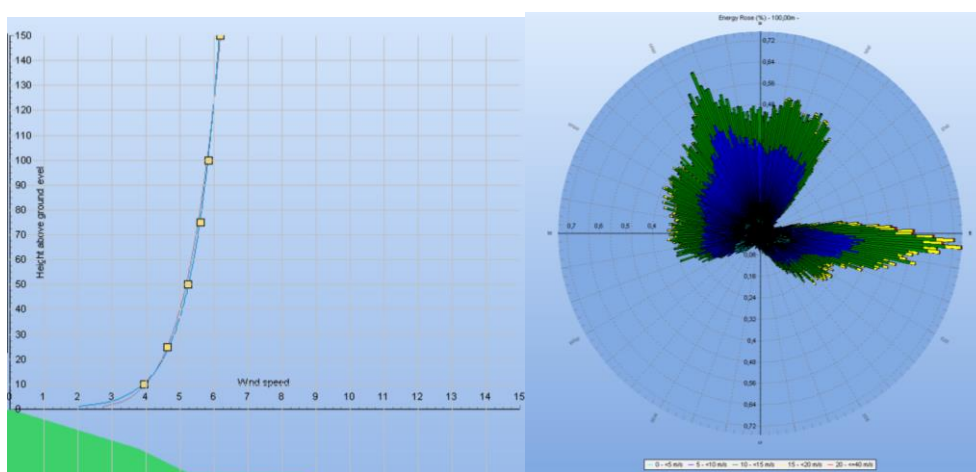


Figura 9: Caratteristiche della stazione EMD-ConWx Mesodata Europe N37,52 E13,28

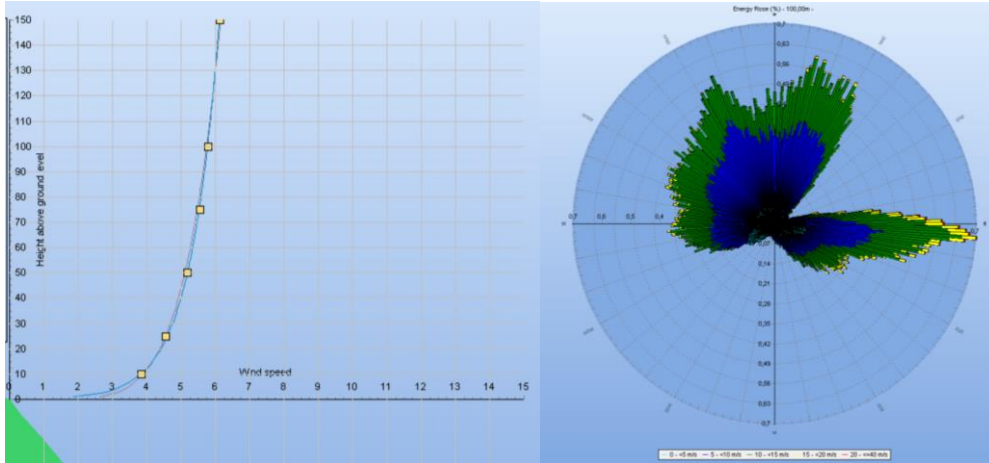


Figura 10: Caratteristiche della stazione EMD-ConWx Mesodata Europe N37,52 E13,31

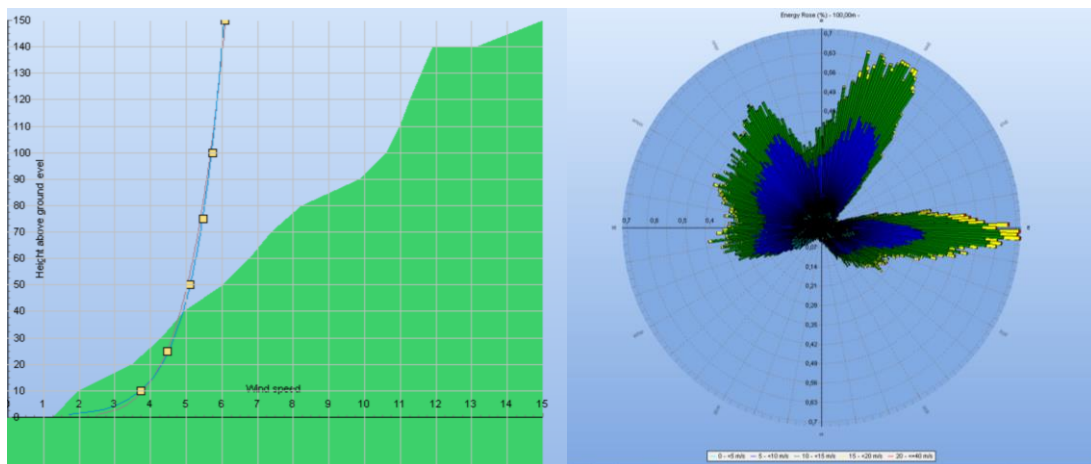


Figura 11: Caratteristiche della stazione EMD-ConWx Mesodata Europe N37,52 E13,34

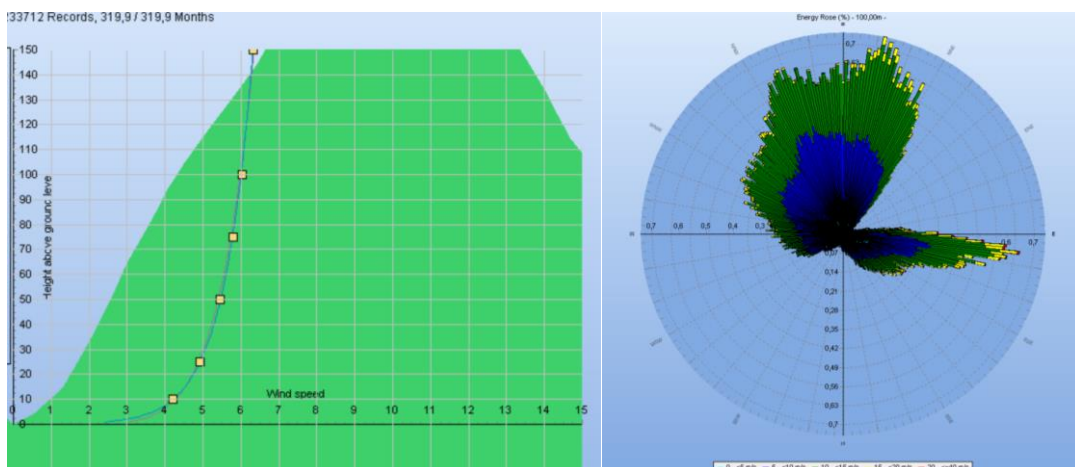


Figura 12: Caratteristiche della stazione EMD-ConWx Mesodata Europe N37,55 E13,31

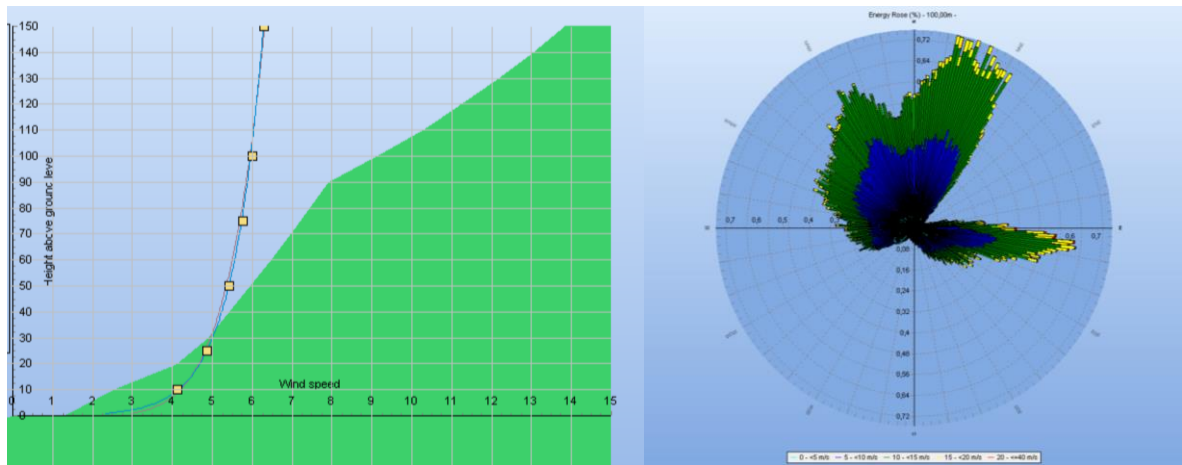


Figura 13: Caratteristiche della stazione EMD-ConWx Mesodata Europe N37,55 E13,34

Al fine di calcolare le condizioni di ventosità del sito all'altezza del mozzo degli aerogeneratori è necessario effettuare un'estrapolazione verticale a partire dai dati ottenuti alla massima altezza di misura. È stato eseguito un confronto tra l'esponente del profilo verticale (wind shear) misurato e quello calcolato dal modello computazionale WASP, pesato sulla frequenza di ogni settore.

L'esponente di profilo verticale è definito dalla legge esponenziale seguente:

$$U_2 = U_1 \cdot \left(\frac{h_2 - D}{h_1 - D} \right)^\alpha$$

dove:

- ✓ α è l'esponente di "wind shear" secondo la legge di potenza;
- ✓ U è la velocità media del vento;
- ✓ h è l'altezza sul livello del suolo;
- ✓ D è l'altezza dello spostamento effettivo del flusso.

2.6. Descrizione dell'aerogeneratore

L'aerogeneratore scelto per il progetto è il modello SG6.6-170 Siemens-Gamesa, di potenza pari a 6,1 MW qui di seguito sono elencate le specifiche tecniche:

	PARCO EOLICO "BELMONTE"			
				
STIMA DI PRODUCIBILITA'		22/07/2024	REV.0	Pag. 15

GENERALI

Temperatura di funzionamento a piena potenza	-30°C / +50 °C
Temperatura di declassamento da raggiungere	+50 °C
Temperatura operativa STW	-20 °C / +40 °C
Temperatura CW	Full power: -30 °C to 40 °C, survive -40 °C a 50 °C
Certificazioni	IEC 61400-1
Tipologia turbina	Rotore tripala ad asse orizzontale
Regolazione della potenza	Regolazione attiva singola pala
Potenza nominale	6100 kW
Velocità massima delle lame	1120 rpm-6p (50Hz) 1344 rpm-6p (60Hz)
Condizioni del vento secondo IEC 61400 1 (ed. 3) per il range di temperatura standard	7.38 m/s
Vita di funzionamento stimata	25 anni

TORRE

Tipologia	SG 6.2-170
Altezza all' Hub	115 m
Classe vento	IEC IIIA-IIIIB
Numero di lame	3

ROTORE

Diametro rotore	170,0 m
Area spazzata	22698 m ²

	PARCO EOLICO "BELMONTE"	 
	STIMA DI PRODUCIBILITA'	22/07/2024 REV.0 Pag. 16

Potenza su superficie nominale	268,74 W/m ²
Regolazione della potenza	Regolazione del pitch e della coppia con velocità variabile
Tilt Rotore	6°

PALE DEL ROTORE	
Materiale	G (Glassfiber) – CRP (Carbon Reinforced Plastic)
Lunghezza totale	83,5 m

IMPIANTO ELETTRICO	
Potenza nominale PnG	6100 kW
Voltaggio nominale (rotore/statore)	690/6100 V
Potenza reattiva	6100 kVA
Fattore di potenza standard	±0.90
Frequenza	50 / 60 Hz
Isolamento	Esterno
Tensione nominale OV, Ur	690 V
Tensione nominale massima OV, dipendente dalla rete a 36 kV, Ur	20 kV / 40,5 kV
Corrente nominale	630 A
Velocità nominale	1120 rpm-6p (50Hz) 1344 rpm-6p (60Hz)
Deriva Frequenza max	4 Hz/sec
Squilibrio di tensione max	<5 %

3. CALCOLO E VERIFICA DELLA PRODUZIONE ATTESA

3.1. Stima della produzione energetica

La variazione della velocità del vento al sito è stata stimata utilizzando il software WASP, sviluppato dal Dipartimento di Energia Eolica del Laboratorio Nazionale del Risø in Danimarca (DTU Wind Energy Department), mediante l'interfaccia del software WindPRO, sviluppato dalla società EMD della Danimarca. Il modello fluidodinamico del vento, inizializzato a partire dalle condizioni misurate nella posizione delle torri anemometriche, è stato usato per predire la velocità del vento di lungo termine nelle posizioni dei singoli aerogeneratori.

La stima di produzione energetica è stata effettuata utilizzando i dati tecnici della turbina e le caratteristiche dell'area coinvolta, oltre alla densità dell'aria specifica di sito che incide sulla performance ed adattamento della curva di potenza. Nel calcolo eseguito si è tenuto in conto anche del deficit di produzione legato alle perdite tecniche stimate nella percentuale del 8,1% e delle perdite di scia.

Setup

AEP scaled to a full year based on number of samples
 Include seasonal correction: EMD Default
 Scaling factor from 26,7 years to 1 year, Spring: 0,037
 Scaling factor from 26,7 years to 1 year, Summer: 0,037
 Scaling factor from 26,7 years to 1 year, Autumn: 0,038
 Scaling factor from 26,7 years to 1 year, Winter: 0,038
 Resulting scaling factor: 0,038

Calculation performed in UTM (north)-WGS84 Zone: 33
 At the site centre the difference between grid north and true north is: -0,3°

Wake

Wake Model: N.O. Jensen (RISØ/EMD) Park 2 2018
Wake decay constant
 Wake decay constant: 0,090 DTU default onshore Hub height independent
 Reference WTG: Parco eolico Ribera/Calamonaci - WTG01 Vestas V172 7200kW 114,0m

Scaler/wind data

Name EMD Default Meso Scaler
 Terrain scaling Meso-scale Data Downscaling
 Micro terrain flow model WASP IBZ from Site Data
 Used period 01/01/1993 01:00:00 - 31/08/2019
 Meteo object(s)
 Anemometro virtuale - Ribera/Calamonaci - EMD-ConWx Meso Data, EUROPE_N37,55_E013,31
 Anemometro virtuale - Ribera/Calamonaci - EMD-ConWx Meso Data, EUROPE_N37,55_E013,34
 Anemometro virtuale - Ribera/Calamonaci - EMD-ConWx Meso Data, EUROPE_N37,52_E013,28
 Anemometro virtuale - Ribera/Calamonaci - EMD-ConWx Meso Data, EUROPE_N37,52_E013,31
 Anemometro virtuale - Ribera/Calamonaci - EMD-ConWx Meso Data, EUROPE_N37,52_E013,34
 Anemometro virtuale - Ribera/Calamonaci - EMD-ConWx Meso Data, EUROPE_N37,49_E013,31
 Horizontal interpolation Take nearest
 Displacement height Omnidirectional from objects
 WASP version WASP 12 Version 12.09.0034

Power correction

Power curve correction (adjusted IEC method, improved to match turbine control)

	Min	Max	Avg	Corr. [%]	Neg. corr. [%]	Pos. corr. [%]
Air density						
From air density settings [°C]	15,5	15,8	15,7			
From air density settings [hPa]	956,0	961,4	958,3			
Resulting air density [kg/m³]	1,154	1,159	1,156			
Relative to 15°C at sea level [%]	94,2	94,6	94,4	-3,6	-3,6	0,0

Parco eolico on-shore Ribera/Calamonaci	Vestas V172 7200kW 114,0m
Modello utilizzato	WASP
Numero WTG [n°]	4
Altezza torre [m]	114
Diametro rotore [m]	172
Altezza massima al tip [m]	200
Potenza unitaria [MW]	7,2
Potenza complessiva installata [MW]	28,8
Vento medio all'hub [m/s]	6,60
Densità dell'aria [kg/m³]	1,156
GROSS [MWh/y]	89.573
AEP [MWh/y]	88.271
Park efficiency [%]	98,55%
Perdite in scia [%]	1,45%
Calamonaci WTG01 [%]	0,52%
Calamonaci WTG03 [%]	2,35%
Ribera WTG04 [%]	1,65%
Ribera WTG05 [%]	1,19%
Stima perdite complessive [%]	-8,1%
<i>Disponibilità aerogeneratori</i> [%]	-3,0%
<i>Efficienza elettrica</i> [%]	-2,0%
<i>Efficienza dell'impianto</i> [%]	-1,0%
<i>Cause ambientali</i> [%]	-1,0%
<i>Disponibilità della rete</i> [%]	-0,7%
<i>Altro</i> [%]	-0,7%
Dettaglio turbine - P50	
Calamonaci WTG01 [MWh]	18.934
Calamonaci WTG03 [MWh]	20.748
Ribera WTG04 [MWh]	20.637
Ribera WTG05 [MWh]	20.774
Energia netta in rete - P50 [MWh/y]	81.093
Ore equivalenti [ore]	2.816
Capacity factor [%]	32,1%
Energia netta in rete - P75 [MWh/y]	75.193,6
Ore equivalenti [ore]	2.611
Capacity factor [%]	29,8%
Energia netta in rete - P90 [MWh/y]	69.883,7
Ore equivalenti [ore]	2.427
Capacity factor [%]	27,7%

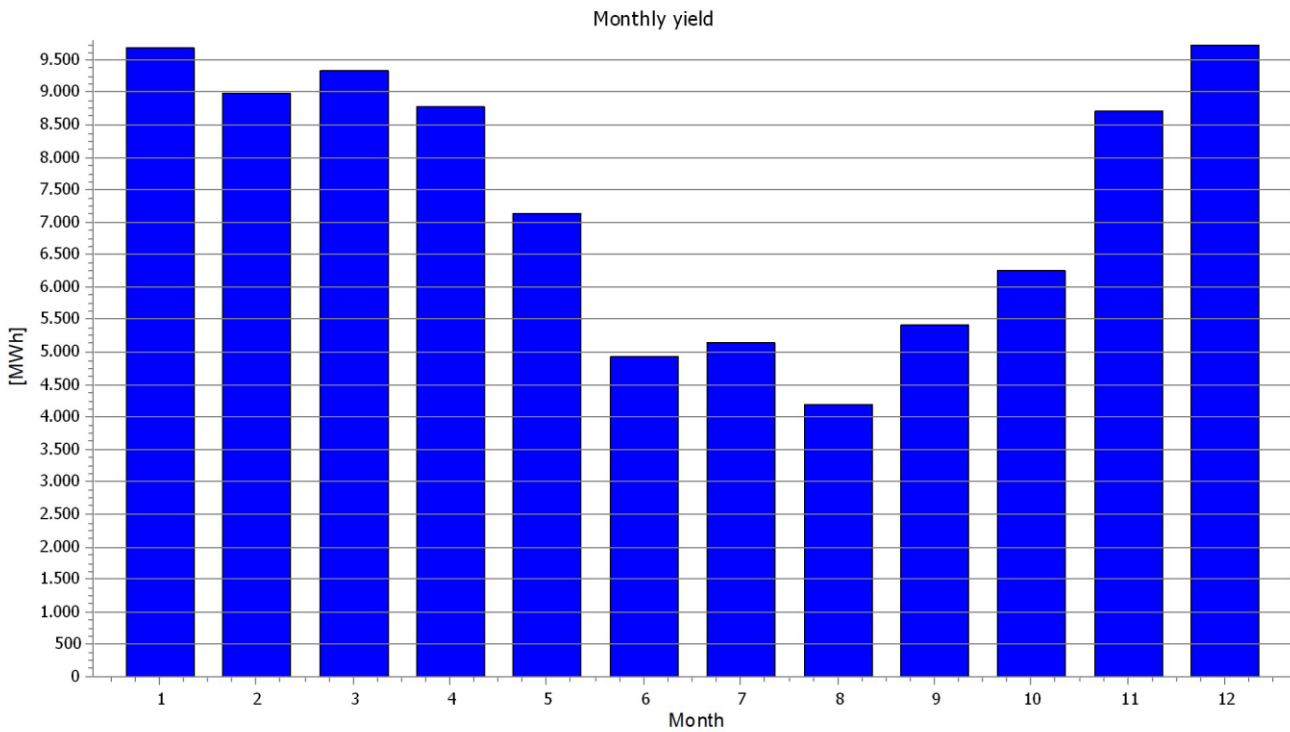


Figura 14: Produzione media mensile

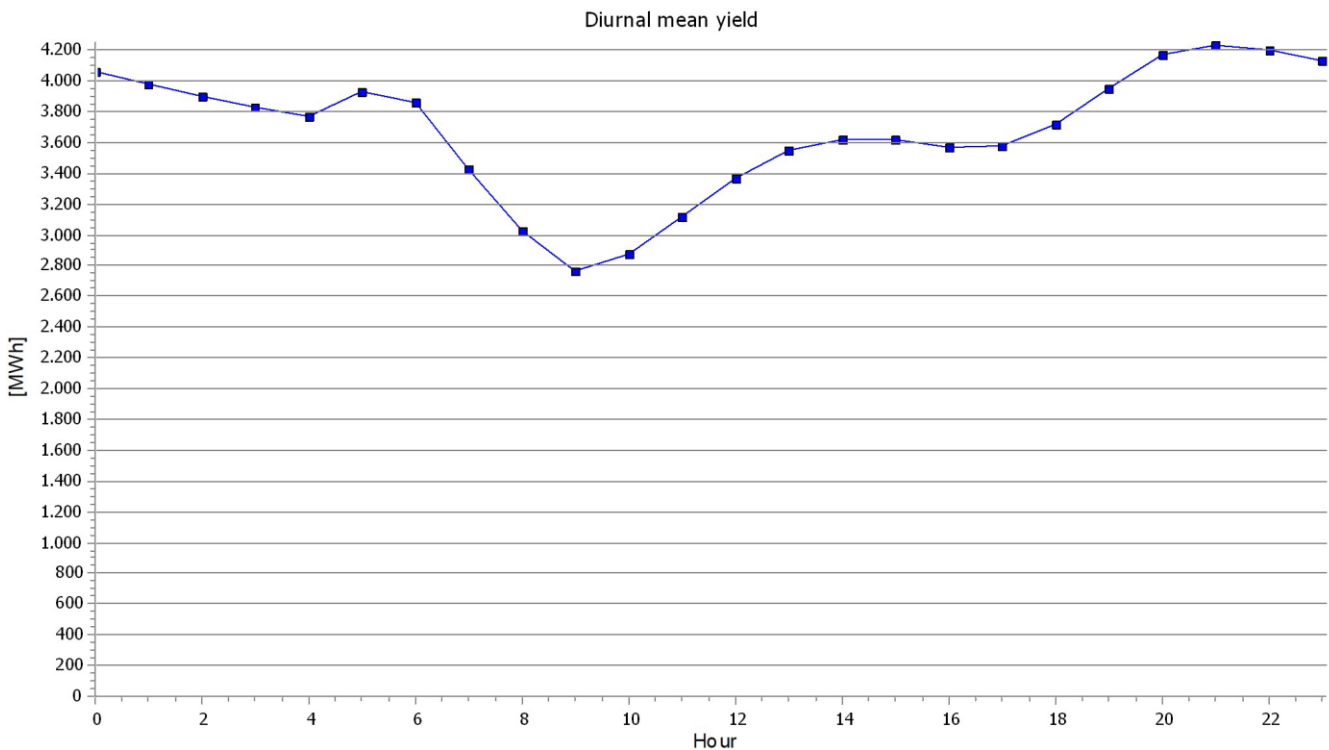


Figura 15: Produzione media giornaliera

3.2. Verifica dell'idoneità del sito

La verifica dell'idoneità del sito è stata effettuata con il modulo Site Compliance di Wind Pro secondo lo standard IEC61400-1, in particolare si valuta se una classe di turbina eolica è adatta alle effettive condizioni del sito e del layout.

Main result

Main IEC checks

Terrain complexity	<i>Caution</i>
Fatigue/Normal conditions	
(a) Wind distribution	OK
(b) Effective turbulence	OK
(c) Flow inclination	OK
(d) Wind shear	OK
(e) Air density	OK
Ultimate/Extreme conditions	
(a) Ambient 90% turbulence [NTM]	OK
(b) Extreme wind	OK
(c) Ambient extreme turbulence [ETM]	OK
(d) Max centre-wake 90% turbulence [ETM]	OK

Other IEC checks & analysis

Seismic hazard	<i>Caution</i>
Temperature range	OK
Lightning rate	OK
Tropical cyclone analysis	OK

Result details

			WTG class	Method	Quality	WTG Mean	Max WTG	Min WTG	WTGs OK	WTGs Caution	WTGs Critical
Main IEC checks											
Terrain complexity	Cct	[-]		Active DEM		1,01	1,05	1,00	3	1	0
Fatigue/Normal conditions											
(a) Wind distribution	pdf(u)*	[-]	IA+	Mast Weibull shear	B	-	-	-	4	0	0
(b) Effective turbulence	seff(u)*	[-]	IA+	WEng	B/C	-	-	-	4	0	0
(c) Flow inclination	favg	[°]		WEng	B	-0,6	0,0	-0,8	4	0	0
(d) Wind shear	a	[-]		Mast WEng	A	0,09	0,10	0,08	4	0	0
(e) Air density	?	[kg/m ³]		Mast	A/B	1,154	1,157	1,152	4	0	0
Ultimate/Extreme conditions											
(a) Ambient 90% turbulence [NTM]	s90(u)*	[-]	IA+	WEng	B/C	-	-	-	4	0	0
(b) Extreme wind	u50y	[m/s]	IA+	AM	A+A	25,1	25,4	24,3	4	0	0
(c) Ambient extreme turbulence [ETM]	sext(u)*	[-]	IA+	WEng	B/C	-	-	-	4	0	0
(d) Max centre-wake 90% turbulence [ETM]	smax(u)*	[-]	IA+	WEng	B/C	-	-	-	4	0	0
Other IEC checks & analysis											
Seismic hazard	PGA	[m/s ²]		GSHAP map		1,1	-	-			
Temperature range											
Normal range, hours outside		[h/year]	Std	Full gauss		2,1	-	-			
Extreme range, hours outside		[h/year]	Std	Full gauss		0,0	-	-			
Lightning rate		[flashes/year/km ²]		NASA GHCC		4,4	-	-			
Tropical cyclone analysis		[-]		IBTrACS		-	-	-			

* Parameter checked for a range of windspeeds (u), a single summary value is not possible.

	PARCO EOLICO "BELMONTE"	 		
		STIMA DI PRODUCIBILITA'	22/07/2024	REV.0

Design standard: IEC61400-1 ed. 4 (2019)

Main checks - WTGs

Criteria

Critical

Caution

OK

Masts

- A Anemometro virtuale - Ribera/Calamonaci - EMD-ConWx Meso Data, EUROPE_N37,55_E013,31
- B Anemometro virtuale - Ribera/Calamonaci - EMD-ConWx Meso Data, EUROPE_N37,55_E013,34
- C Anemometro virtuale - Ribera/Calamonaci - EMD-ConWx Meso Data, EUROPE_N37,52_E013,28
- D Anemometro virtuale - Ribera/Calamonaci - EMD-ConWx Meso Data, EUROPE_N37,52_E013,31
- E Anemometro virtuale - Ribera/Calamonaci - EMD-ConWx Meso Data, EUROPE_N37,52_E013,34
- F Anemometro virtuale - Ribera/Calamonaci - EMD-ConWx Meso Data, EUROPE_N37,49_E013,31

Main IEC checks

WTG-name	Class	Mast	Terrain complexity	Wind distribution	Effective turbulence	Flow inclination	Wind shear	Air density	Ambient 90% turbulence [NTM]	Extreme wind	Ambient extreme turbulence [ETM]	Max centre-wake 90% turbulence [ETM]	Total
1 WTG01	IA+	D	No	OK	OK	0	0,10	1,157	OK	24,3	OK	OK	OK
2 WTG03	IA+	D	No	OK	OK	-1	0,10	1,152	OK	25,4	OK	OK	OK
3 WTG04	IA+	D	Low	OK	OK	0	0,10	1,153	OK	25,4	OK	OK	Caution
4 WTG05	IA+	D	No	OK	OK	-1	0,08	1,154	OK	25,4	OK	OK	OK

3.3. Conclusioni

In base all'analisi dei dati anemometrici disponibili per il sito in esame, si è potuto stimare che con l'installazione del modello di aerogeneratore ipotizzato Vestas V172 di potenza nominale pari a 7,2 MW e con altezza del mozzo di 114,0 m, è attesa una resa energetica dell'impianto in agro nei Comuni di Ribera e Calamonaci una produzione netta P50 pari a **81,093 GWh** annui corrispondenti a circa **2.816** ore equivalenti/anno pur decurtando una percentuale di perdite tecniche stimate pari a 8,1 %. In base alle valutazioni preliminari eseguite, il modello di turbina scelto per l'impianto risulta compatibile con le caratteristiche anemologiche del sito.